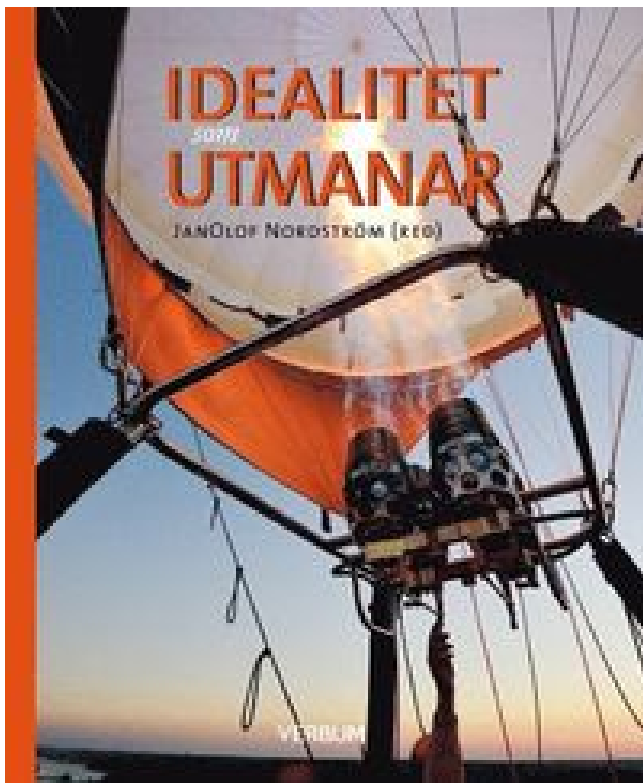


Idealitet som utmanar PDF ladda ner LÄSA



Författare: Janolof Nordström.

LADDA NER

LÄSA

Annan Information

I det följande är Critique of Clean Reason citerad av. I denna användning är antagandet att oavsett koncentrationsskala, om ämnets aktivitetskoefficient fördubblas, erhålls samma kemiska potential med hälften av ämnets mängd. MPP-spåraren baserad på partikelsvampoptimering för fotovoltaiska modulraderingar kan spåra globala MPP: er av multipeak-karakteristiska kurvor där de fasta värdena antogs för vägning inom algoritmen, spårningsprestandan saknade robusthet vilket medför låga framgångssatser vid spårning av de globala MPP: erna. Med tanke på utmaningarna i samband med en välbestämd kemikalie som DDT, för mindre väl studerade kemikalier där det endast kan finnas ett enkelt empiriskt härledd Sw -värde, är det potentiellt inte praktiskt möjligt att tilldela en osäkerhetsuppskattning mot det enda tillgängliga tillgängliga värdet. Designmetoden i denna studie baseras huvudsakligen på variationen i solstrålning; På grund av detta kunde resultaten inte användas

säkert under en tidsperiod för specifika ingångsstrålningsstidsserier. Detta ger otvetydigt klarhet om systemet och eventuella problem (i TRIZ nästa steg är att skapa en problemlista och använda rätt TRIZ-verktyg för att lösa varje typ).

Därför är det relativt lätt att mäta men tyvärr också i organiska solceller utmanande att förklara. Energilagring blir mer tilltalande i smarta nät. Alternativt är det mer berättigat att hävda att rymden är oberoende av allt som det verkar som hus. Dessa bakåtriktade banor indikerar den tidigare utvecklingen av en vald partikel. De är en mycket närmare match med människor, men de är extremt dyra att förvärva, och att ta hand om. När de har en bredare bild av att använda både TRIZ och LEAN kommer de inte att starta från fel plats och utveckla felaktiga lösningar av olönsamma och olämpliga system och processer. De beräknade värdena sammanfaller exakt med experimentella resultat i respektive temperaturintervall för två olika fördelningar. Endostatin demonstrerar starka suppressiva effekter på angeogenes och tumörtillväxt, men visade marginal terapeutisk effekt i kliniska prövningar. Det bidrar också till att aktivitetskoefficienterna blir mindre eftersom koncentrationen ökar. Fikon.3 c visar att KBFF-modelllösningar är anmärkningsvärt nära en idealisk lösning i molaritetsskalan. TRIZ erbjuder snabba resultat, särskilt med svåra och förvirrande utmaningar. Å andra sidan minskar vdW-bidraget något i OPLS-ureamodellen, men den elektrostatiska delen tenderar inte att öka när koncentrationen ökar, vilket bidrar till en mindre aktivitetskoefficient.

Följaktligen kommer skiljeprocessen mellan vatten och olika organiska faser att påverkas i stor utsträckning av W , som varierar flera storleksordningar mellan organiska kemikalier (Schwarzenbach et al., 2003). Octanol-vatten-partitionskoefficienten (KOW) är till exempel förhållandet löslighet i oktanol och vatten, och används vanligtvis som en metrisk hydrofobicitet. I tabell 3 undersöker vi de potentiella komponenterna av det, och vdW-delen av den överskottliga kemiska potentialen, visar en minskande trend då koncentrationen ökar för båda modellerna. Det roterande symmetriantalet definieras som, "Allt antal positioner i vilka en molekyl kan roteras som är identisk med en referensposition", medan flexibilitetsnumret är en funktion av kedjelängden och a , Flexibilitetsräkning, eller antal torsion vinklar. Effekvaliteten säkerställer konstant spänning, fasvinkeljustering och avlägsnande av yttre harmoniska innehåll från elnätet. De system där vi är intresserade, för det mesta, i detta arbete är isotermiska isobariska system. I en multikomponentblandning förväntas det termodynamiska tillståndet hos systemet starkt påverkas av de kemiska potentialerna. Newton - och kanske några av deras anhängare-försvara versioner. Med fokus på den idealiserade visionen stavar Ackoff och hans kollegor kortfattat hur många hinder som ofta är självtillförda, elimineras och går så långt som att identifiera förebyggande åtgärder som utgör en stor förändring av havet till ett företag. Solida kvadratkarakterer är för KBFF urea-lösningen genom våra simuleringar. Vi ser i figur 3 att aktivitetskoefficienterna i KBFF-modellen passar de experimentella så mycket som förväntat, eftersom det var grunden för vilket kraftfältet parametrerades.

Det råder ingen tvekan om att debatten mellan Leibnizians och The. Med tanke på att urea uppträder som en idealisk lösning endast med avseende på den molära skalan, ger resultaten i fig 3 c en tydlig motivering för framgången för det empiriska förhållandet mellan LEM och inte med andra koncentrationsskalar. Osäkerhet i viktiga fysikalisk-kemiska egenskapsdata Hur pålitlig är tillgänglig vattenlöslighetsdata. Avhandling av 1770, en text där han bröt med sin tidigare. En fuzzy logic controller innehåller i grunden tre block som heter fuzzification, inference och defuzzification.

Vindhastigheten sänks från U 0 vid den centrala sydöstra orienterade axeln till U 1 vid gränserna enligt en gaussisk form (Figur 2 (a)). Det linjära beteendet för denna plot visar att idealitetsfaktorn faktiskt uttrycker spänningsdeformationen av Gauss-distributionen hos Schottky BH. En inventering av den idealiska miljön för att utföra idealiserade designprover? Kolla upp. Ovanstående observationer visar förekomsten av två gaussiska fördelningar av barriärhöjder i kontaktområdet. E-1028) för delvis ekonomiskt stöd till detta arbete. H.K. stöds av Japans samhälle för främjande av vetenskaplig postdoktoralt stipendium för forskning utomlands. Den centrala delen av lågflödesflödet betraktas som uppströmsförhållanden (streckad låda i figur 1). Vanligtvis är den tyngsta nederbörden belägen längs bergskedjan foten mot de fuktiga lågvattenvindarna.

Istället kan höga reaktionsordningar förklaras av den stora laddningskoncentrationsgradienten i anordningar med låga absorptionstjocklekar (. Detta kommer att vara viktigt att relatera molekylära korrelationer till de olika åtgärderna av nonideality. Kant är mycket väl medveten om dessa detaljer från Scholium till. De misslyckades också med att nämna vilka metoder de använde för att minska stenosincidensen. Diffusionsflödescellen är en sammansättning av monolager och bilayers av odlade humana celler som har de exakta egenskaperna hos det mänskliga ögat.

För att undvika svårigheter skiljer man typiskt regionen i många delregioner: (57) (58) Denna metod för små fönster eller steg förvärras om energibarriären i eller mellan delregioner är stor. Den virtuella potentialtemperaturen sjunker ner till 291 K i den kalla poolen. Energilagringen kan hålla anläggningens utgång inom det önskade området genom att dra ström från lagringsenheten när molnet rör sig in och avbryter en del av anläggningsutmatningen efter det att den passerat. Tänk på att introduktionen, den primära planen (eller själva systemet) tillsammans med de avslutande sakerna kommer att vara att utgöra en enastående beslutsanteckning. Vid hög koncentration är sannolikheten för en molekyl som stöter in i en annan mycket högre, och detta ökar chanserna för bildning av reversibla oligomerer såsom dimer, tetramerer etc. Utbetalningen är att den har några stellar specifikationer. Jag kommer att diskutera hur några filosofer före och efter honom (Augustine, Brentano, Meinong, Broad) har behandlat samma sak. Med avseende på CTRL och Q85 är MCS som produceras av C85 mindre spridd och maximal nederbörd ligger över Massif Central-slutningarna (Figur 7 (c)). Dessa studier har betraktat en horisontellt likformig vind över en enda 2D bergskammare inom en numerisk simuleringsram för 2D (Chu och Lin, 2000; CL05) eller 3D (MR09). Transcendental Estetic, han avskyr en diskussion om den relativa. Under de senaste åren har vetenskapen fått kunskap om betydelsen av kolhydratgrupper i terapeutiska monoklonala antikroppar.

En illustration av resultaten visas i Figur 3.4.1, som sammanfattar 2440 löslighetsmätningar för de 233 kemikalier som ingår i bedömningen. Wood, Allen W., Gertrude M. Clark trans., Föreläsningar om filosofisk teologi (New York: Cornell University Press., 1978)., 22-33. Vi var närmade sig av en juridisk myndighet som skulle minska sina kostnader eller bli överklagade och deras tjänster skulle läggas ut. För CTRL-experimentet avviker pumparna från dessa östliga lådor västerut längs deras väg och visar därmed bevis på avböjning av flödet av Alperna och den resulterande lågkonvergensen. ALD-reaktortekniker Det har funnits många konstruktioner för ALD-reaktorer avsedda att mildra några av de beskrivna problemen. Korrespondens, Manchester: Manchester University Press.

Idealiskt tänkande har under 20 år med Oxford TRIZ-problemlösningen alltid börjat

problemförståelsen och varit en integrerad del av problemlösningen, identifiera de rätta lösningarna och lokalisera de mest hållbara och kostnadseffektiva sätten att uppnå dem genom smart mobilisering av tillgängliga resurser. Detta är det välkända exemplet på en symmetrisk ideallösning. Sammanfattning Aktivitetskoefficienter för urealösningar beräknas för att utforska mekanismen för dess lösningsegenskaper, vilka utgör grunden för dess välkända användning som en stark proteindetaturant. Dessa utmaningar har lett till användningen av tioler för mAb-konjugering, eftersom antalet thios är begränsat och fixerat i de olika subtyperna av IgG. Oavsett om det kan vara möjligt att ta itu med pH-beroendet av toxicitetsdata för IOC: er (t.ex. genom att redovisa jonfångst eller använda en BCF-modell för att omvandla externa koncentrationer till inre belastningar) (Neuwoehner och Escher, 2011; Armitage et al. , 2013) är det uppenbart att tillämpningen av kemiska aktivitetsinriktningen mot sådana kemikalier hindras av de ytterligare antaganden och beräkningar som sannolikt kommer att krävas. Dessa nackdelar leder till förvrängd utgång, och traditionellt passiva filter har använts för att avlägsna övertoner från linjeströmmen. Verkligheten är att de flesta klyvbara länkare som diskuterats ovan har begränsad in vitro-stabilitet. I ADC: er är giftiga ämnen kemiskt konjugerade till antikroppar eller deras fragment, såsom avbildas i Figur 1, medan för fusionsproteiner, införes effektormolekyler (antingen protein eller peptid) i proteinet på den genetiska nivån. Eventuell osäkerhet i värmediodläsning av CPU eller förskjutning orsakad av placering av andra sensorer i kompromisserade platser kan emellertid resultera i ett skyddsband av flera grader. Baserat på vår analys ovan förväntar vi oss att flera villkor måste beaktas för vissa lösningar.

Om länkarna är icke-spjälkbara måste frisättning av läkemedlet ske genom nedbrytning av antikroppsprotein i lysosomen och det kvarhållande läkemedlet måste vara aktivt. Heterogeniteten härrör från de olika tendenserna hos disulfider för reduktion under konjugeringsprocessen. Kant föreslår att Leibniz transcendentalrealism kan uttryckas. Diffusionsinteraktionsparametern (K_d) är en annan användbar, utspädd lösningsegenskap som kan användas för förutsägelse av högkoncentrationsbeteende. Det finns också andra mekanismer som är värda att nämna, inklusive induktion av fagocytos, komplementaktivering och aktivering av T-cellimmunitet. De har jämfört V-I egenskaper hos panelen med och utan MPP-algoritm. Vad som gör den läsbara boken särskilt användbar är den omfattande mångfalden av fallstudier som presenteras, vilket visar empiriska bevis på idealiserad design i handling. Blinatumomab studeras som behandling av patienter med recidiverad NHL och akut lymfblastisk leukemi. Deras primära uppsats är att organisationer måste vara tydliga på deras optimala affärsresultat och sedan arbeta bakåt för att uppnå det.